



زمان‌بندی وظایف پویا با استفاده از الگوریتم تبرید شبیه‌سازی شده هذلولی در محیط‌های

پردازش موازی با منابع ناهمگن

علیرضا صادقی حصار^(۱) سید رضا کامل*^(۲) محبوبه هوشمند^(۳)

(۱) گروه مهندسی کامپیوتر، واحد مشهد، دانشگاه آزاد اسلامی، مشهد، ایران.

(۲) گروه مهندسی کامپیوتر، واحد مشهد، دانشگاه آزاد اسلامی، مشهد، ایران.*

(۳) گروه مهندسی کامپیوتر، واحد مشهد، دانشگاه آزاد اسلامی، مشهد، ایران.

تاریخ دریافت: ۱۳۹۸/۱۰/۱۶ تاریخ پذیرش: ۱۳۹۹/۷/۶

چکیده

زمان‌بندی وظایف یکی از مهم‌ترین چالش‌ها در دستیابی به کارایی بالا در محیط‌های چندپردازشی مانند دستگاه‌های توزیع‌شده و موازی است. زمان‌بندی یک مسئله NP -سخت است که معمولاً روش‌های اکتشافی و فرا اکتشافی برای حل آن به کار گرفته می‌شوند. هدف از زمان‌بندی وظایف، اختصاص وظایف به منابع آزاد است به گونه‌ای که حداکثر موازی‌سازی در حین پردازش محقق شود. اکثر روش‌های موجود در ادبیات مبتنی بر راهکارهای ایستا و تک‌هدفه هستند. در این مقاله ابتدا یک مدل ریاضی از مسئله زمان‌بندی وظایف ارائه می‌شود. سپس زمان‌بندی پویای وظایف روی دستگاه‌های چندپردازشی ناهمگن با معیارهای ارزیابی متعدد مورد مطالعه قرار می‌گیرد. در نهایت یک روش مبتنی بر الگوریتم فرا اکتشافی تبرید شبیه‌سازی شده هذلولی برای مسئله زمان‌بندی وظایف پیشنهاد می‌شود. ارزیابی‌های محاسباتی روی معیارهایی مانند زمان پردازش کل، نرخ همگرایی و زمان اجرا نشان‌دهنده عملکرد بالای الگوریتم پیشنهادی در مقایسه با روش‌های موجود در ادبیات برای مجموعه داده‌های یکسان است. واژه‌های کلیدی: زمان‌بندی وظایف، الگوریتم تبرید شبیه‌سازی شده، نرخ همگرایی، منابع ناهمگن.

* عهده‌دار مکاتبات:

نشانی: گروه مهندسی کامپیوتر، واحد مشهد، دانشگاه آزاد اسلامی، مشهد، ایران.

پست الکترونیکی: Drkamel@mshdiau.ac.ir

۱. مقدمه

اصل محاسبات موازی برای استفاده بهینه از منابع سیستم و افزایش سرعت و کارایی پردازش برنامه روی پردازنده‌ها مطرح شده است. بخش‌هایی از برنامه اصلی که قابلیت اجرای هم‌زمان را دارند به چند زیر برنامه تقسیم و به صورت هم‌زمان روی چند منبع اجرا می‌شوند. بخشی از برنامه هم که قابلیت اجرای موازی ندارد به صورت ترتیبی روی یک منبع اجرا می‌شود [۱]. طبق قانون آمدال در محاسبات موازی، مقدار سرباری که به سیستم به دلیل تخصیص وظایف میان منابع تحمیل می‌شود باید کمتر از سود حاصل از موازی‌سازی باشد [۲]. در واقع تفاوت اصلی محاسبات ترتیبی و موازی همین موضوع می‌باشد که شرایط کاهش زمان محاسبه، امکان حل مسائل بزرگ‌تر، غلبه بر محدودیت‌های حافظه، صرفه‌جویی اقتصادی و استفاده از فناوری‌های روز مانند گرید و ابر را فراهم می‌کند. اما در پی آن مفاهیم متعددی مطرح می‌شوند که ماهیت آن‌ها با مفهوم متناظر در محاسبات معمولی کاملاً متفاوت است، مانند دانه‌بندی وظایف، محلی‌سازی، تعادل بار، همگام‌سازی و زمان‌بندی وظایف. در این مقاله به مسئله بهینه‌سازی زمان‌بندی وظایف پرداخته می‌شود.

مسئله زمان‌بندی وظایف یکی از مهم‌ترین چالش‌ها در دستیابی به کارایی بالا در محیط‌های چندپردازشی مانند دستگاه‌های توزیع شده و موازی است [۳]. این یک مسئله NP سخت است که معمولاً روش‌های اکتشافی و فرا اکتشافی برای حل آن بکار گرفته می‌شوند. هدف از زمان‌بندی وظایف، اولویت‌دهی و تخصیص وظایف به منابع آزاد است به گونه‌ای که حداکثر موازی‌سازی در حین پردازش محقق شود [۴]. اکثر روش‌های موجود در ادبیات مبتنی بر راهکارهای ایستا و تک‌هدفه هستند. روش‌های بهینه‌سازی رایج مبتنی بر گرادیان به دلیل وجود تعداد زیادی نقاط مینیمم محلی، وجود تعداد زیادی متغیر مستقل و یا دشواری محاسبه توابع هدف، ناکارآمد هستند [۵]. در مقابل، روش‌های بهینه‌سازی که وابسته به گرادیان نباشند،

می‌توانند مقدار مینیمم سراسری تابع هدف مربوطه را پیدا کرده و یک مدل مناسب از توزیع فضایی وظایف حاصل نمایند. یکی از معروف‌ترین روش‌های بهینه‌سازی غیر وابسته به گرادیان، روش تبرید شبیه‌سازی شده یا SA است. برخلاف روش‌های مبتنی بر گرادیان نزولی که تنها می‌توانند نقطه مینیمم نزدیک به حدس اولیه را پیدا کنند، روش تبرید شبیه‌سازی شده به نقطه مینیمم سراسری، همگرا شده و این همگرایی مستقل از حدس اولیه است [۵] [۶]. الگوریتم تبرید شبیه‌سازی شده، یک الگوریتم بهینه‌سازی فرا اکتشافی ساده و اثربخش در حل مسائل بهینه‌سازی در فضاهای جستجوی بزرگ است. این الگوریتم بیشتر زمانی استفاده می‌شود که فضای جستجو گسسته باشد. برای مسائلی که پیدا کردن یک پاسخ تقریبی برای بهینه‌سازی مهم‌تر از پیدا کردن یک پاسخ دقیق برای بهینه محلی در زمان محدود و مشخص است، تبرید شبیه‌سازی شده نسبت به روش‌های دیگر دارای ارجحیت می‌باشد [۷].

کارهای عمده این مقاله به شرح ذیل بیان می‌شوند: (۱) ارائه یک مدل ریاضی از مسئله بهینه‌سازی زمان‌بندی وظایف (۲) توصیف زمان‌بندی پویای وظایف مستقل روی دستگاه‌های چندپردازشی ناهمگن با معیارهای ارزیابی متعدد (چندهدفه) (۳) ارائه یک روش فرا اکتشافی مبتنی بر الگوریتم تبرید شبیه‌سازی شده برای حل مسئله زمان‌بندی وظایف (۴) مقایسه روش پیشنهادی مقاله با نتایج حاصل از روش‌های زمان‌بندی مبتنی بر لیست.

ادامه مقاله به شرح ذیل سازمان‌دهی شده است: در بخش ۲ کارهای برجسته مرتبط با استفاده از الگوریتم‌های فرا اکتشافی در حل مسئله زمان‌بندی وظایف ارائه می‌شوند. بخش ۳ مسئله زمان‌بندی وظایف، مدل ریاضی آن و مفاهیم پایه بهینه‌سازی الگوریتم تبرید شبیه‌سازی شده توصیف می‌شود. بخش ۴ حاوی نتایج آزمایشی و تحلیل روش پیشنهادی است. در نهایت، نتیجه‌گیری و کارهای آینده در بخش ۵ ارائه می‌شوند.

۲- کارهای مرتبط

هر وظیفه روی هر منبع قبل از شروع زمان‌بندی مشخص است و توپولوژی گراف هرگز تغییر نمی‌کند. اگرچه در مسائل دنیای واقعی، پویایی شرایط و محیط، واقع‌بینانه‌تر است اما لحاظ کردن آن در مدل‌سازی مسئله پیچیدگی را به‌طور قابل‌توجهی افزایش می‌دهد. زمان‌بندی بلادرنگ نیز تنها در ۵ مقاله موردتوجه قرار گرفت که حاکی از یک حوزه تحقیقاتی مناسب برای مطالعات آینده می‌باشد. از روش‌های فرا اکتشافی برجسته‌ای که در سال‌های اخیر مطرح شده‌اند و در کاربردهای مختلفی اعمال شده‌اند مانند الگوریتم قهرمانی در تورنمنت، بهینه‌سازی ملهم از فیزیک نور، الگوریتم ریشه‌پاجوش، الگوریتم قطره آب‌های هوشمند، الگوریتم گرگ‌های خاکستری و الگوریتم محاسبات دریا در این حوزه حداقل در زمان نگارش این مقاله هرگز استفاده نشده است.

در سال‌های اخیر از الگوریتم‌های فرا اکتشافی متعددی برای حل مسائل زمان‌بندی استفاده شده است. اساساً مسائل زمان‌بندی که در ادبیات به آن‌ها پرداخته شده است را می‌توان بدون توجه به کاربرد در نظر گرفته شده به سه دسته زمان‌بندی وظیفه، زمان‌بندی کار و زمان‌بندی جریان‌های کاری تقسیم کرد. کاربردهای برجسته در این حوزه نیز محاسبات ابری، محاسبات گرید، دستگاه‌های چندپردازشی، خط تولید صنعتی و دستگاه‌های ماهواره‌ای هستند. در این بخش ادبیات منتشر شده در یک بازه زمانی ۴ ساله از ۲۰۱۷ تا ۲۰۲۰ پوشش داده می‌شود. تنها مقالات منتشر شده در مجلات ISI و Scopus در نظر گرفته شده‌اند. هر مقاله از نظر ۶ شاخص موردبررسی قرار می‌گیرد که عبارت‌اند از (۱) حالت فضای مسئله (ایستا، پویا) (۲) زمان‌بندی بلادرنگ، (۳) تعداد اهداف (۴) نوع منابع (۵) کاربرد (۶) راه‌حل فرا اکتشافی (مبتنی بر تک جواب، مبتنی بر جمعیت). از این شاخص‌ها موارد ۲ و ۶ مربوط به راه‌حل مسئله و بقیه موارد مربوط به فضای مسئله هستند. همان‌طور که در جدول ۱ مشاهده می‌شود ۱۲ مقاله از الگوریتم ژنتیک، ۴ مقاله از الگوریتم بهینه‌سازی ازدحام ذرات، ۳ مقاله از الگوریتم کلونی زنبورعسل، ۲ مقاله از الگوریتم کلونی مورچگان، ۲ مقاله از الگوریتم جستجوی ممنوعه، ۲ مقاله از الگوریتم تیرید شبیه‌سازی شده و یک مقاله از الگوریتم کوکو برای حل مسئله زمان‌بندی استفاده کرده‌اند. ۵۱.۸۵ درصد از مقالات بررسی شده منابع را به‌صورت ناهمگن و ۵۵.۵۵ درصد از مقالات، زمان‌بندی چندهدفه را در نظر گرفته‌اند. ۷۱.۰۷ درصد از مقالات فضای مسئله را ایستا در نظر گرفته‌اند یعنی زمان محاسباتی

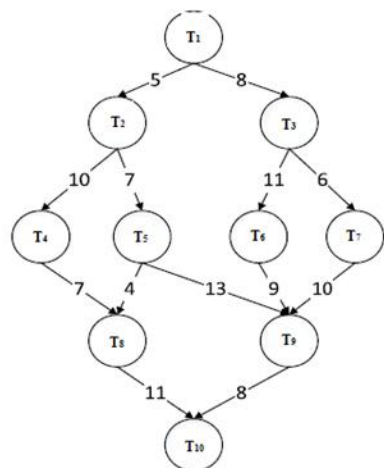
جدول ۱. مقالات مرتبط با زمان‌بندی وظایف با روش‌های فرا اکتشافی منتشر شده از ۲۰۱۳ تا ۲۰۱۷

مرجع	نویسندگان	سال	فرا اکتشافی	جواب/جمعیت	کاربرد	منابع	اهداف	بلادرنگ بودن	فضای مسئله
۸	کونار و همکاران	۲۰۱۷	الگوریتم ژنتیک	جمعیت	چندپردازشی	ناهمگن	چندهدفه	✓	ایستا
۹	اکبری و همکاران	۲۰۱۷	الگوریتم ژنتیک	جمعیت	---	ناهمگن	چندهدفه	x	ایستا
۱۰	زانگ و همکاران	۲۰۱۸	الگوریتم ژنتیک	جمعیت	محاسبات ابر	ناهمگن	تک‌هدفه	x	پویا
۱۱	عبدی و زرنندی	۲۰۱۹	الگوریتم ژنتیک	جمعیت	چندپردازشی	ناهمگن	تک‌هدفه	x	ایستا
۱۲	فادل و همکاران	۲۰۱۹	الگوریتم ژنتیک	جمعیت	CPU/FPGA	همگن	تک‌هدفه	x	ایستا
۱۳	روپاتی و سلامی	۲۰۱۹	الگوریتم ژنتیک	جمعیت	چندپردازشی	همگن	چندهدفه	x	پویا

۱۴	وونگ و همکاران	۲۰۱۹	الگوریتم ژنتیک	جمعیت	سیستم های ماهواره	همگن	تک هدفه	x	پویا
۱۵	الگندی و همکاران	۲۰۱۹	الگوریتم ژنتیک	جمعیت	محاسبات ابر	ناهمگن	چند هدفه	x	پویا
۱۶	ماهوری و همکاران	۲۰۱۹	الگوریتم ژنتیک	جمعیت	چندپردازی	همگن	تک هدفه	✓	ایستا
۱۷	ژانگ و همکاران	۲۰۱۹	الگوریتم ژنتیک	جمعیت	رادارهای آرایه	همگن	چند هدفه	x	پویا
۱۸	یان و همکاران	۲۰۱۹	الگوریتم ژنتیک	جمعیت	چندپردازی روی تراشه	همگن	تک هدفه	✓	ایستا
۱۹	ولینگاری و همکاران	۲۰۲۰	الگوریتم ژنتیک	جمعیت	محاسبات ابر	ناهمگن	چند هدفه	x	پویا
۲۰	الهارکان و همکاران	۲۰۲۰	جستجوی ممنوعه	تک جواب	سرورهای موازی	همگن	تک هدفه	x	ایستا
۲۱	ولا و همکاران	۲۰۱۵	جستجوی ممنوعه (فازی)	تک جواب	کارگاهی	همگن	تک هدفه	x	پویا
۲۲	مردی و همکاران	۲۰۱۹	تبرید شبیه سازی شده	تک جواب	شبکه چند فروشگاهی	ناهمگن	چند هدفه	x	ایستا
۲۳	رامش و همکاران	۲۰۲۰	تبرید شبیه سازی شده	تک جواب	فروشگاهی	ناهمگن	تک هدفه	x	پویا
۲۴	دردوایی و نجفی	۲۰۱۸	بهینه سازی ازدحام ذرات / تپه نوردی	جمعیت	محاسبات ابر	ناهمگن	تک هدفه	x	ایستا
۲۵	منصوری و همکاران	۲۰۱۹	بهینه سازی ازدحام ذرات (فازی)	جمعیت	محاسبات ابر	ناهمگن	چند هدفه	x	پویا
۲۶	بانسل و مالیک	۲۰۲۰	بهینه سازی ازدحام ذرات	جمعیت	محاسبات ابر	ناهمگن	چند هدفه	✓	پویا
۲۷	ژانگ و همکاران	۲۰۲۰	بهینه سازی ازدحام ذرات	جمعیت	محاسبات لبه	همگن	تک هدفه	x	پویا
۲۸	البود و کردی	۲۰۱۹	کوکو (فاخته)	جمعیت	کارگاهی	ناهمگن	چند هدفه	x	ایستا
۲۹	محمد کوردی	۲۰۱۹	کلونی مورچگان	جمعیت	فروشگاهی	ناهمگن	چند هدفه	x	ایستا
۳۰	نایی و همکاران	۲۰۲۰	کلونی مورچگان	جمعیت	سیستم سایبری / فیزیکی	ناهمگن	تک هدفه	x	ایستا
۳۱	شارما و همکاران	۲۰۱۸	کلونی زنبور مصنوعی	جمعیت	کارگاهی	ناهمگن	چند هدفه	✓	پویا
۳۲	بینگ لی و همکاران	۲۰۱۹	کلونی زنبور مصنوعی	جمعیت	فروشگاهی	ناهمگن	تک هدفه	x	پویا
۳۳	بی بینگ لی و همکاران	۲۰۲۰	کلونی زنبور مصنوعی	جمعیت	کارگاهی	ناهمگن	چند هدفه	x	ایستا

۳- روش پیشنهادی

در این بخش کاربرد و مدل سیستم توصیف می شود. هر کار از چندین وظایف تشکیل شده است و به عنوان یک گراف بدون دور جهت دار (DAG) مدل سازی می شود و با



شکل ۱. نمونه ای از یک DAG با ۱۰ وظیفه

جدول ۲. هزینه محاسباتی وظایف روی پردازنده ها

روش پیشنهادی

در این بخش کاربرد و مدل سیستم توصیف می شود. هر کار از چندین وظایف تشکیل شده است و به عنوان یک گراف بدون دور جهت دار (DAG) مدل سازی می شود و با $G(V, E)$ نشان داده می شود. $V = \{T_1, T_2, \dots, T_n\}$ مجموعه رئوس نشان دهنده وظایف موجود در کار است و E مجموعه یال ها نشان دهنده وابستگی میان وظایف است. هر یال با یک برچسب نشان دهنده هزینه ارتباطی همراه شده است. نمونه ای از یک DAG در شکل ۱ نشان داده شده است. هزینه های محاسباتی وظایف موجود در شکل ۱ روی ۳ پردازنده در جدول ۱ ارائه شده است که در آن \bar{w} هزینه محاسباتی میانگین T_i روی مجموع پردازنده ها است. وظیفه T_0 نشان دهنده گره ورودی و T_{10} نشان دهنده گره خروجی

Task	p_0	p_1	p_2	\bar{w}
T ₁	9	10	8	9
T ₂	12	11	13	12
T ₃	15	8	10	11
T ₄	6	10	8	8
T ₅	15	13	11	13
T ₆	7	9	14	10
T ₇	13	17	15	15
T ₈	12	10	14	12
T ₉	18	13	17	16
T ₁₀	7	10	7	8

۳-۱ تعریف مسئله

هزینه تکمیل هر وظیفه به صورت ذیل بیان می شود:

$$CTime_i = STime_i + ETime_i \quad i = 1, \dots, m \quad (1)$$

Makespan به عنوان کل زمان صرف شده برای تکمیل همه وظایف موجود بیان می شود:

$$Makespan = \sum_{i=1}^m Max \{CTime_i\} \quad (2)$$

هزینه پردازش هر وظیفه مجموع هزینه اجرا و هزینه انتقال داده های ورودی و خروجی است که به صورت ذیل بیان می شود:

$$PCost_i = ECost_i + InCost_i + OutCost_i \quad i = 1, \dots, m \quad (3)$$

توابع هدف مدل پیشنهادی به صورت ذیل تعریف می شود:

$$Min Z_{(1)}(x) = Makespan \quad (4)$$

$$Min Z_{(2)}(x) = \sum_{j=1}^n \sum_{i=1}^m PCost_{ij} \times x_{ij}$$

$$subject \ to \ \begin{cases} \sum_{j=1}^n x_{ij} = 1, i=1, \dots, m \\ x_{ij} \in \{0,1\} \end{cases}$$

محدودیت اول یعنی هر وظیفه تنها روی یک منبع پردازش می شود.

۳-۲ الگوریتم تبرید شبیه سازی شده

الگوریتم تبرید شبیه سازی شده یک الگوریتم فرا اکتشافی برای حل مسائلی است که دارای فضای جستجوی بزرگ و

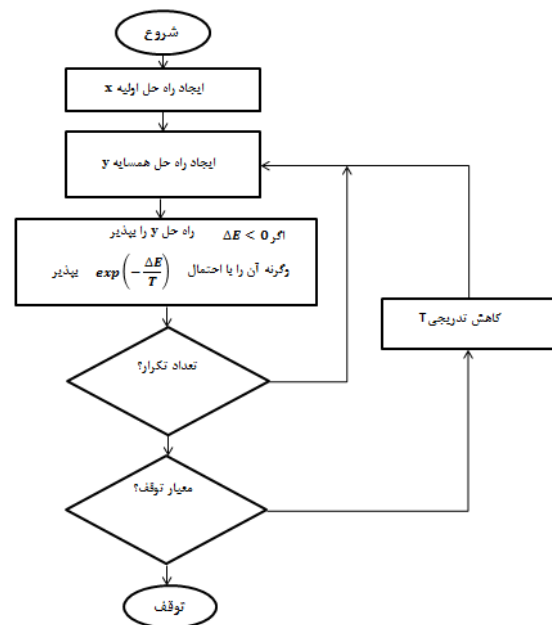
گسسته هستند [۲۳]. این الگوریتم الهام گرفته از فرآیند فیزیکی تبرید فلزات مذاب است. در فرآیند تبرید، یک فلز مذاب با دمای بسیار بالا به تدریج خنک می شود. در دماهای بالا، اتم های سازنده فلز به صورت تصادفی قرار گرفته اند و می توانند به آسانی نسبت به یکدیگر جابجا شوند. با کاهش تدریجی دما، حرکت اتم ها محدود می شود به طوری که اتم ها موقعیت خود را تثبیت می کنند و کریستال ها را تشکیل می دهند. هر چه سطح انرژی کریستال ها پایین تر باشد، از ساختار مطلوب تری برای استحکام فلز برخوردارند.

سطح انرژی کریستال تشکیل شده به سرعت سرد کردن فلز بستگی دارد. اگر کاهش دما خیلی سریع صورت گیرد، ممکن است ساختار غیر کریستالی با سطح انرژی بالا تشکیل شود. بنابراین برای رسیدن به کمترین میزان سطح انرژی، فرایند سرد کردن باید به آرامی صورت پذیرد. در واقع هدف نهایی تبرید، دستیابی به ساختار کریستالی با کمترین سطح انرژی به منظور دستیابی به استحکام فلز است. الگوریتم تبرید شبیه سازی شده به دنبال مقدار مینیمم سراسری یک تابع هدف است که معادل سطح انرژی فرایند تبرید می باشد [۳۴].

فرایند سردسازی با استفاده از یک پارامتر شبه دما شبیه سازی می شود. برای حل یک مسئله بهینه سازی، الگوریتم ابتدا از یک جواب اولیه s شروع می کند و سپس در یک حلقه تکرار به سوی جواب های همسایه حرکت می کند. اگر جواب همسایه بهتر از جواب فعلی باشد، الگوریتم آن را به عنوان جواب فعلی قرار می دهد (به سوی آن حرکت می کند)، در غیر این صورت، الگوریتم آن جواب را با احتمال پذیرش $P(e, e^*, T)$ به عنوان جواب فعلی می پذیرد که در آن $e = E(s)$ و $e^* = E(s^*)$ به ترتیب توابع انرژی جواب فعلی و جواب همسایه هستند و T یک پارامتر به نام دما است. در هر دما، چندین تکرار اجرا می شود و سپس دما به آرامی کاهش داده می شود. در گام های اولیه دما خیلی بالا قرار داده می شود تا احتمال بیشتری برای پذیرش جواب های بدتر وجود داشته باشد. با

کاهش تدریجی دما، در گام‌های پایانی احتمال کمتری برای پذیرش جواب‌های بدتر وجود خواهد داشت و بنابراین الگوریتم به سمت یک جواب خوب همگرا می‌شود. بنابراین در الگوریتم SA سه مؤلفه باید برای هر مسئله مشخص شود (۱) احتمال پذیرش (۲) تولید همسایه‌های جدید و (۳) زمان‌بندی کاهش دما که در بخش‌های ذیل به آن پرداخته می‌شود [۲۴]. نمودار جریان الگوریتم تبرید شبیه‌سازی شده در شکل ۲ نشان داده شده است.

شکل ۲. نمودار جریان الگوریتم تبرید شبیه‌سازی شده



۳-۲-۱ احتمال پذیرش

معمولاً در ادبیات رابطه‌ای که در فرمول ۶ نشان داده شده است به عنوان احتمال پذیرش استفاده می‌شود و به توزیع احتمالی بولتزمن مشهور است که در آن k نشان‌دهنده ثابت بولتزمن است. در توزیع مزبور شانس اینکه سیستم از یک مقدار انرژی مینیمم محلی بیرون آمده و به یک مقدار سراسری همگرا شود، وجود دارد. اگر جواب همسایه بهتر است آن را قبول می‌کنیم. اگر همسایه بهتر نباشد چند عامل را در نظر می‌گیریم. اولاً چه میزان همسایه بدتر است؟ دوماً حرارت سیستم چقدر بالاست؟ در حرارت‌های بالا احتمال بیشتری وجود دارد که جواب‌های بدتر هم انتخاب

شوند. بنابراین هر چه تغییر در انرژی کمتر (کیفیت جواب) و هر چه حرارت بیشتر باشد احتمال پذیرفتن جواب وجود دارد [۳۴].

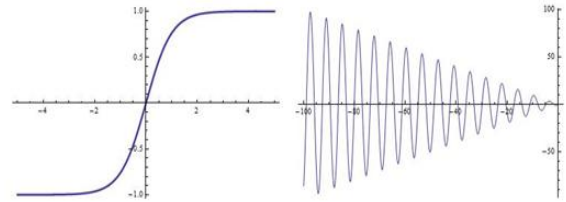
$$P(e, e^*, T) \begin{cases} 1 & \text{if } e^* \leq e \\ \exp(-(e^* - e)/kT) & \text{otherwise} \end{cases} \quad (5)$$

۳-۲-۲ تولید همسایه

تولید همسایه یا راه‌حل جدید معمولاً به صورت تصادفی و بر مبنای راه‌حل فعلی انجام می‌شود. البته در ادبیات روش‌های گوناگونی برای تابع تولید همسایه پیشنهاد شده است که بنا به کاربرد تعریف شده متفاوت هستند. نحوه تعیین همسایه‌ها از جواب فعلی، روش ارزیابی همسایه‌ها و چگونگی انتخاب همسایه جایگزین جواب فعلی در هر روش فرا اکتشافی، به گونه‌ای خاص انجام می‌شود. در بین روال‌های بهینه‌یابی، روش‌های جواب یابی مکرر، نقش مهمی دارند. مهم‌ترین گام در یک روال تکراری عبارت است از تولید جواب جدید s از جواب فعلی s و آزمون اینکه این گام باید تکرار شود یا نه. تکنیک‌های جستجوی همسایگی روال‌های تکراری هستند که در آن‌ها همسایه $N(s)$ برای هر جواب s تعریف می‌شود و جواب بعدی S^* از بین جواب‌های $N(s)$ انتخاب می‌شود [۳۵]. در این مقاله از روش تولید همسایه هذلولی (هایپربولیک) استفاده می‌شود (۱۴) که از دو تابع $x \cos(x)$ و $\tanh(x)$ استفاده می‌کند. تابع $x \cos(x)$ دارای محور تقارن $x=0$ است. شکل ۳(الف) این تابع را در بازه $[-100, 0]$ نشان می‌دهد. با نزدیک شدن مقدار x به صفر، دامنه نوسان مقدار تابع کاهش می‌یابد که از این خاصیت برای همگرا نمودن الگوریتم استفاده شده است. تابع $\tanh(x)$ دارای مرکز تقارن $(0, 0)$ و برد $(-1, 1)$ است. اگر عدد ثابتی مانند a در این تابع ضرب شود، برد آن شامل بازه باز $(-a, a)$ می‌شود که در شکل ۳(ب) نشان داده شده است. از این خاصیت برای تولید جواب‌هایی در فاصله اندک از جواب فعلی استفاده شده است [۳۶]. تابع تولید همسایه روش هذلولی در رابطه (۷) ذکر شده است:

$$S^* = 0.05 \tanh(i \cos(100i)) \times R \times (U - L) + S \quad (7)$$

که در آن i عدد تکرار، R یک عدد تصادفی، U کران بالای جواب‌ها، L کران پایین جواب‌ها و S جواب فعلی است. شکل ۳(الف) منحنی تابع $x \cos(x)$ در بازه $[-100, 0]$ ، (ب) منحنی تابع $\tanh(x)$



۳-۲-۳ زمان‌بندی کاهش دما

زمان‌بندی کاهش دما یا استراتژی سردسازی سیستم، چگونگی کاهش دما را در حین تکرارهای روش تعیین می‌کند. کیفیت جواب SA به میزان زیادی بستگی به تعداد جواب‌هایی دارد که در هر دما مورد بررسی قرار می‌گیرند. بنابراین مقدار این پارامتر هم‌بستگی به ابعاد و ساختار مسئله دارد و معمولاً با چند بار اجرای آزمایشی از طریق آزمون‌وخطا برای مقادیر مختلف تعیین می‌شود به‌گونه‌ای که در هر تکرار روش SA بایستی تعداد زیادی جواب تولید شوند تا یک تعادل حرارتی در هر دما برقرار گردد. نرخ سردسازی بسیار بزرگ، باعث همگرایی زود هنگام و حبس در مینیمم محلی می‌شود. نرخ سردسازی کوچک، زمان محاسباتی را افزایش می‌دهد. برای کاهش دادن دما، دمای فعلی را در ضریب α ضرب می‌کنیم. توجه کنید که α مقدار بین ۰ و ۱ است. در الگوریتم SA دما به تدریج و بسیار آهسته کم می‌شود، پس مقدار α باید به ۱ نزدیک باشد. کاهش دادن سریع دما باعث خواهد شد تا در مینیمم محلی گیر کند. بهترین مقداری که در ادبیات برای α پیشنهاد شده است ۰.۹۷ است [۳۶].

۴- پیاده‌سازی

در فاز پیاده‌سازی کد برنامه در نرم‌افزار متلب R2014b v9.1 x64 نوشته شد و برنامه روی یک سیستم خانگی با پردازنده Intel® Core™2 Duo E4500 و ۲ گیگابایت حافظه RAM اجرا شد. منابع ناهمگن در نظر گرفته شده‌اند یعنی قابلیت آن‌ها برای پردازش وظایف مختلف متفاوت است و پردازش یک وظیفه روی منابع مختلف می‌تواند به

زمان‌های اجرای متفاوتی منجر شود. هزینه ارتباط بین وظایف نیز در نظر گرفته شده است. هزینه ارتباط یا هزینه لبه در گراف متناظر یعنی زمانی که برای انتقال نتیجه یک وظیفه به یک وظیفه مجاور صرف می‌شود. پویایی زمان‌بندی به این معناست که پس‌ازاینکه هر وظیفه از صف حذف می‌شود و به یک منبع اختصاص داده می‌شود مجدداً تابع اولویت‌دهی اجرا می‌شود و چیدمان وظایف در صف را تغییر می‌دهد. اگرچه این وضعیت منجر به افزایش پیچیدگی محاسباتی می‌شود ولی قطعاً به کاهش زمان پردازش کل کمک می‌کند. HEFT یکی از الگوریتم‌های شناخته‌شده در این حوزه است که نتایج حاصل از آن در ادبیات به‌عنوان یک شاخص قیاسی برای نشان دادن عملکرد روش پیشنهادی این مقاله استفاده می‌شود. منطق HEFT بسیار ساده است و وظیفه را به منبع به‌گونه‌ای اختصاص می‌دهد که زودترین زمان اتمام آن ارضا شود. در بخش ۵، نتایج حاصل از پیاده‌سازی با HEFT مقایسه می‌شود. ضمن این‌که در تمام آزمایش‌ها از ماتریس‌های [۴×۲۰] تولیدشده تصادفی استفاده می‌شود.

۵- نتایج و بحث

در بخش اول، ابتدا نتایج حاصل از آزمایش‌ها روی معیار Makespan با توجه به مقادیر مختلف برای پارامترهای الگوریتم تبرید شبیه‌سازی شده بیان می‌شود. در بخش دوم نتایج سه معیار Makespan، زمان اجرای برنامه و نرخ همگرایی روش پیشنهادی ارائه و با نتایج الگوریتم HEFT مقایسه می‌شوند. همان‌طور که در بخش قبل توضیح داده شد، روش شبیه‌سازی تبرید دارای چهار پارامتر دمای اولیه، دمای نهایی، ضریب کاهش دما و تعداد تکرار الگوریتم در هر دما است. در این بخش به دنبال یافتن ترکیبی از این پارامترها هستیم که جواب بهتری را حاصل کند. برای این منظور مقدار هر یک از پارامترها را در بازه‌های مشخص تغییر می‌دهیم و نتایج حاصل از اجرای الگوریتم را برای یک گراف یکسان [۴×۲۰] از وظایف که در قالب ماتریس پیاده‌سازی شده است استخراج می‌کنیم. تعداد وظایف ۲۰ و تعداد پردازنده‌ها ۴ می‌باشد.

این نتایج در جدول ۳ ارائه شده‌اند. انتظار داریم که با افزایش دمای اولیه، افزایش ضریب کاهش دما و افزایش تعداد تکرار در هر دما نقاط بیشتری از فضای جواب مورد جست جو قرار بگیرند و زمان حل نیز افزایش یابد.

جدول ۳. مقادیر پارامترهای الگوریتم تبرید شبیه‌سازی شده

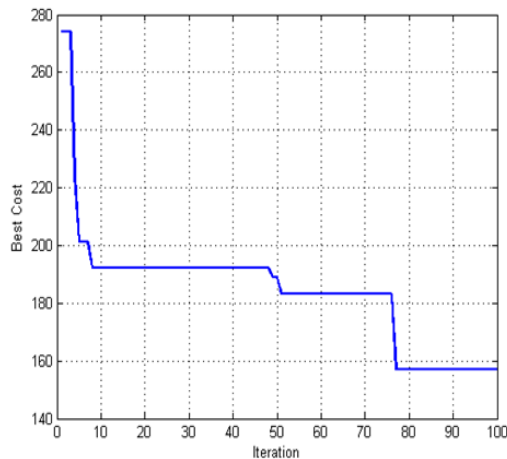
ردیف	دمای اولیه	ضریب کاهش دما	تعداد تکرار در هر دما	جواب نهایی الگوریتم	زمان اجرا
۱	۵۰	٪۹۷	۲۵	۱۵۹	۱۱.۲۰۶
۲	۷۵	٪۹۷	۲۵	۱۵۸	۱۱.۲۴۱
۳	۱۰۰	٪۹۷	۲۵	۱۵۸	۱۱.۳۳۲
۴	۱۲۵	٪۹۷	۲۵	۱۵۸	۱۱.۲۵۳
۵	۱۵۰	٪۹۷	۲۵	۱۵۸	۱۱.۳۸۸
۶	۱۷۵	٪۹۷	۲۵	۱۵۷	۱۱.۳۸۹
۷	۲۰۰	٪۹۷	۲۵	۱۶۴	۱۱.۴۰۴
۸	۲۲۵	٪۹۷	۲۵	۱۶۸	۱۱.۳۸۶
۹	۲۵۰	٪۹۷	۲۵	۱۶۶	۱۱.۴۰۸
۱۰	۳۰۰	٪۹۷	۲۵	۱۶۶	۱۱.۳۵۹

آزمایش با هر دمای اولیه ۳ بار انجام شده است و بدترین نتیجه در جدول ثبت شده است.

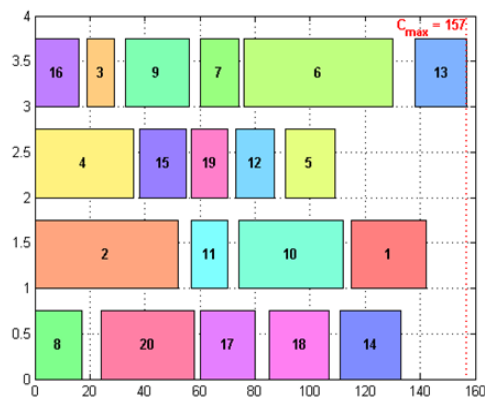
همان‌طور که در جدول مشخص است با افزایش دمای اولیه روند کلی به این صورت است که زمان اجرا افزایش می‌یابد اگرچه دمای اولیه ۳۰۰ زمان اجرای کمتری نسبت به دمای اولیه ۲۵۰ ثبت کرده است. افزایش بیشتر دمای اولیه تا ۱۷۵ موجب کاهش جواب نهایی الگوریتم شده است اما از این دما به بعد افزایش دمای اولیه لزوماً موجب بهتر شدن جواب‌ها نشده است. ضمن این‌که ضریب کاهش دما در تمام آزمایش‌ها به صورت ثابت ۰.۹۷ درصد در نظر گرفته شده است. این رایج‌ترین مقدار است که در ادبیات بکار گرفته شده است و عدد کوچک‌ترین از آن معمولاً منجر به حبس در بهینه‌های محلی می‌شود. بنابراین بر اساس نتایج به دست آمده، بهترین ترکیب پارامترها برای الگوریتم‌ها دمای اولیه ۱۷۵، تعداد تکرار در هر دما ۲۵، ضریب کاهش دمای ۰.۹۷ می‌باشد. نمودار همگرایی و Makespan این ترکیب پارامتریک به ترتیب در شکل ۴ و

۵ نشان داده شده است.

شکل ۴. نمودار همگرایی بهترین ترکیب پارامتریک: دمای اولیه ۱۷۵، تعداد تکرار در هر دما ۲۵، ضریب کاهش دمای ۰.۹۷

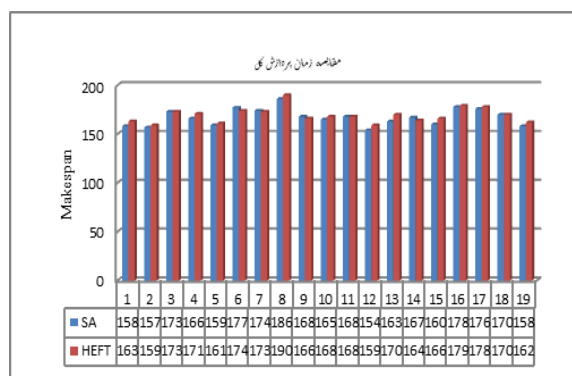


شکل ۵. نمودار Makespan بهترین ترکیب پارامتریک: دمای اولیه ۱۷۵، تعداد تکرار در هر دما ۲۵، ضریب کاهش دمای ۰.۹۷



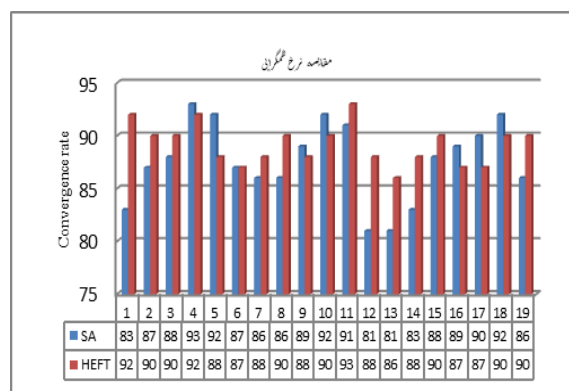
۱۷۵، تعداد تکرار در هر دما ۲۵، ضریب کاهش دمای ۰.۹۷ در این بخش نتایج مقایسه الگوریتم تبرید شبیه‌سازی پیشنهادی با الگوریتم HEFT ارائه می‌شود. نمودار مقایسه از لحاظ سه معیار Makespan، زمان پیاده‌سازی برنامه و نرخ همگرایی به ترتیب در شکل‌های ۶ و ۷ و ۸ نشان داده شده است. آزمایش روی یک گراف یکسان [۴×۲۰] در ۲۰ تکرار انجام شده است. هزینه پردازش وظایف روی پردازنده‌ها در بازه ۱۰ تا ۶۰ در نظر گرفته شده است. شکل ۶. مقایسه نتایج Makespan حاصل از الگوریتم‌های

SA و HEFT با ۲۰ گراف تصادفی (۲۰ وظیفه، ۴ پردازنده)



همان‌طور که در شکل ۶ نشان داده شده است، نتایج همان‌طور که در شکل ۶ نشان داده شده است، نتایج حاصل از الگوریتم SA در بازه ۱۵۴ و ۱۸۶ تغییر می‌کند و نتایج حاصل از الگوریتم HEFT بین ۱۵۹ و ۱۹۰ تغییر می‌کند. از ۲۰ تکرار آزمایش در ۱۶ تکرار زمان Makespan مربوط به SA کمتر یا برابر با زمان Makespan مربوط به HEFT است و تنها در تکرارهای ۶، ۷، ۹، ۱۴ زمان Makespan مربوط به HEFT کمتر از SA است که نشان‌دهنده برتری SA در ۸۰ درصد از موارد است.

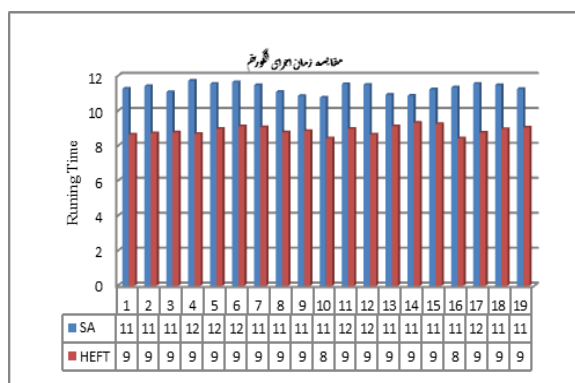
شکل ۷. مقایسه نتایج نرخ همگرایی حاصل از الگوریتم‌های SA و HEFT در ۱۰۰ تکرار با ۲۰ گراف تصادفی



همان‌طور که در شکل ۷ نشان داده شده است، نتایج نرخ همگرایی حاصل از الگوریتم SA در بازه ۸۱ و ۹۳ تغییر می‌کند و نرخ همگرایی حاصل از الگوریتم HEFT بین ۸۶ و ۹۳ تغییر می‌کند. از ۲۰ تکرار آزمایش در ۱۴ تکرار نرخ همگرایی مربوط به SA کمتر یا برابر با نرخ همگرایی مربوط به HEFT است که نشان‌دهنده برتری SA در ۷۰

درصد از موارد است.

شکل ۸. مقایسه نتایج زمان پیاده‌سازی حاصل از الگوریتم‌های SA و HEFT در ۱۰۰ تکرار ۲۰ گراف تصادفی



و HEFT در ۱۰۰ تکرار ۲۰ گراف تصادفی

مجدداً همان‌طور که در شکل ۷ نشان داده شده است، نتایج زمان اجرای حاصل از الگوریتم SA در بازه ۱۰.۸۶ و ۱۱.۷۳ تغییر می‌کند و زمان اجرای حاصل از الگوریتم HEFT بین ۸.۴۴ و ۹.۳۲ تغییر می‌کند. در تمام ۲۰ تکرار آزمایش نتایج نشان‌دهنده برتری مطلق الگوریتم HEFT نسبت به الگوریتم SA است.

از برآیند نتایج مشاهده شده در بالا برتری الگوریتم SA نسبت به روش HEFT که یک روش پویای مبتنی بر لیست است از نظر دو معیار نرخ همگرایی و زمان پردازش کل مشهود است. همچنین از نظر معیار زمان اجرای برنامه نیز برتری مطلق روش HEFT نسبت به الگوریتم SA کاملاً آشکار است. راجع به برتری روش HEFT نسبت به روش‌های تکاملی مانند PSO، GA و GA-PSO از نظر زمان اجرا در مقالات دیگر هم قبلاً صحبت شده است و اساساً اختلاف این نتایج همچنان یک معمای حل نشدنی است!

۶- نتیجه‌گیری

هدف از زمان‌بندی وظایف در دستگاه‌های توزیع شده، تخصیص وظایف به منابع ناهمگن است به گونه‌ای که برخی از معیارهای عملکرد، مانند حداقل زمان اجرا یا حداکثر سازی توازی بهبود یابند. زمان‌بندی وظایف یک

کارهای آینده ما قصد داریم الگوریتم پیشنهادی را در قالب رویکردهای چندهدفه با در نظر گرفتن معیاری مانند میزان حرارت تولیدشده ناشی از عملیات پردازشی که اخیراً در مباحث محاسبات چندهسته‌ای مطرح شده است و همچنین در نظر گرفتن مؤلفه‌هایی از قبیل زمان‌بندی بلادرنگ و توازن بار پویا تعمیم دهیم. ضمن این‌که آزمون الگوریتم SA روی گراف‌های جهان واقعی در محیط‌های محاسبات ابری به‌عنوان یکی دیگر از کارهای تحقیقاتی آینده مطلوب خواهد بود.

مسئله NP-سخت است، به همین دلیل از الگوریتم‌های اکتشافی و فرا اکتشافی برای حل آن استفاده می‌شود. در این مقاله یک الگوریتم SA با تابع تولید همسایه هذلولی برای زمان‌بندی چندهدفه پویای وظایف در محیط‌های پردازش موازی با منابع ناهمگن پیشنهاد شده است. نتایج حاصل از اعمال این الگوریتم روی DAG‌های مصنوعی با اندازه‌های مختلف نشان می‌دهد که روش پیشنهادی از نظر نرخ همگرایی و زمان پردازش کل وظایف و میزان استفاده از پردازنده نسبت به روش HEFT مؤثرتر است. در

مراجع

- [1] Gottlieb, Allan, Almasi, George S, Highly parallel computing. Redwood City, Calif.: Benjamin/Cummings, 1989, pp. 21-23.
- [2] Gustafson, John L, Reevaluating Amdahl's law, Communications of the ACM, 1988. pp. 323-346.
- [3] Mehdi Akbaria, Hassan Rashidib, Sasan H. Alizadeh, "An enhanced genetic algorithm with new operators for task scheduling in heterogeneous computing systems", Engineering Applications of Artificial Intelligence, 2017, Vol. 61, pp. 35-46.
- [4] Ullman, J.D., NP-complete scheduling problems. J. Comput. Syst. Sci. 10, 1979, pp. 384-393.
- [5] Tran N. H. and Tran K., "Combination of fuzzy ranking and simulated annealing to improve discrete fracture inversion Elsevier", Mathematical and Computer Modeling, 2007, Vol. 45, pp. 1010-1020.
- [6] Dudek G, "Adaptive simulated annealing schedule to the unit commitment problem", Elsevier, Electric Power Systems Research, 2010, Vol. 80, pp. 465-472.
- [7] Cerny, V, "A thermodynamical approach to the traveling salesman problem: An efficient simulation algorithm", Journal of Optimization Theory and Applications, 1985, Vol. 45, pp. 41-51.
- [8] Debanjan Konara, Siddhartha Bhattacharyyab, Kalpana Sharmaa, Sital Sharmac, Sri Raj Pradhan, "An improved Hybrid Quantum-Inspired Genetic Algorithm (HQIGA) for scheduling of real-time task in multiprocessor system", Applied Soft Computing 2017, Vol. 53, pp. 296-307.
- [9] Mehdi Akbaria, Hassan Rashidib, Sasan H. Alizadeh, "An enhanced genetic algorithm with new operators for task scheduling in heterogeneous computing systems", Engineering Applications of Artificial Intelligence, 2017, Vol. 61, pp. 35-46.
- [10] Feifei Zhang, Jidong Ge, Zhongjin Li, Chuanyi Li, "A load-aware resource allocation and task scheduling for the emerging cloudlet system", Future Generation Computer Systems, 2018, Vol. 87, pp. 438-456.
- [11] Athena Abdi, Hamid R.Zarandi, "A meta heuristic-based task scheduling and mapping method to optimize main design challenges of heterogeneous multiprocessor embedded systems", Microelectronics Journal, 2019, Vol. 87, pp. 1-11.
- [12] Fadel Abdallah, Camel Tanougast, Imed Kacem, Camille Diou, "Genetic algorithms for scheduling in a CPU/FPGA architecture with heterogeneous communication delays", Computers & Industrial Engineering, 2019, Vol. 137, pp. 106-126.
- [13] Dulana Rupanetti, Hassan Salamy, "Task allocation, migration and scheduling for energy-efficient real-time multiprocessor architectures", Journal of Systems Architecture, 2019, Vol. 98, pp. 17-26.
- [14] Shuo Wang, Lin Zhao, Jianhua Cheng, Junfeng Zhou, Yipeng Wang, "Task scheduling and attitude planning for agile earth observation satellite with intensive tasks", Aerospace Science and Technology, 2019, Vol. 90, pp. 23-33.
- [15] Abdelrahman Elgendy, Jihong Yan, Mingyang Zhang, "Integrated Strategies to an Improved Genetic Algorithm for Allocating and Scheduling Multi-Task in Cloud Manufacturing Environment", Procedia Manufacturing, 2019, Vol. 39, pp. 1872-1879.
- [16] Pranab K.Muhuri, Amit Rauniyar, Rahul Nath, "On arrival scheduling of real-time precedence constrained tasks on multi-processor systems using genetic algorithm" Future Generation Computer Systems, 2019, Vol. 93, pp. 702-726.

- [17] Zhang Haowei, Xie Junwei, Ge Jiaang, "A hybrid adaptively genetic algorithm for task scheduling problem in the phased array radar", *European Journal of Operational Research*, 2019, Vol. 272, pp. 868-878.
- [18] YunYonghee, Hwang Eun Ju, Kim Young Hwan, "Adaptive genetic algorithm for energy-efficient task scheduling on asymmetric multiprocessor system-on-chip", *Microprocessors and Microsystems*, 2019, Vol. 66, pp. 19-30.
- [19] S.Velliangiri, P.Karthikeyan, V.M.Arul Xavier, D.Baswaraj, "Hybrid electro search with genetic algorithm for task scheduling in cloud computing", *Ain Shams Engineering Journal*, 2020, (In press) Vol. XX, pp. XX-XX.
- [20] Ibrahim Alharkan, Mustafa Saleh, Mageed A.Ghaleb, Husam Kaid, "Tabu search and particle swarm optimization algorithms for two identical parallel machines scheduling problem with a single server", *Journal of King Saud University - Engineering Sciences*, 2020, Vol. 32, pp. 330-338.
- [21] Camino R.Vela, Sezin Afsar, Juan JoséPalacios, "Evolutionary tabu search for flexible due-date satisfaction in fuzzy job shop scheduling", *Computers & Operations Research*, 2020, Vol. 119, pp. 104-131.
- [22] Fateme Marandi, Fatemi Ghomi, "Network configuration multi-factory scheduling with batch delivery: A learning-oriented simulated annealing approach", *Computers & Industrial Engineering*, 2019, Vol. 132, pp. 293-310.
- [23] C. Ramesh, R. Kamalakannan, R. Karthik, C. Pavin, S. Dhivaharan, "A lot streaming based flow shop scheduling problem using simulated annealing algorithm", *MaterialsToday: Proceeding*, 2020, Vol. 7, pp. 58-85.
- [24] Negar Dordaie Nima Jafari Navimipour, "A hybrid particle swarm optimization and hill climbing algorithm for task scheduling in the cloud environments", *ICT Express*, 2018, Vol. 4, pp. 199-202.
- [25] Najme Mansouri, Behnam Mohammad Hasani Zade, Mohammad Masoud Javidi, "Hybrid task scheduling strategy for cloud computing by modified particle swarm optimization and fuzzy theory", *Computers & Industrial Engineering*, 2019, Vol. 130, pp. 597-633.
- [26] Mitali Bansal, Sanjay Kumar Malik, "A Multi-Faceted Optimization Scheduling Framework Based on the Particle Swarm Optimization Algorithm in Cloud Computing", *Sustainable Computing: Informatics and Systems*, 2020, In press, Vol. xx, pp. XX-XX.
- [27] Yi Zhang, Yu Liu, Junlong Zhou, Jin Sun, Keqin Li, "Slow-movement particle swarm optimization algorithms for scheduling security-critical tasks in resource-limited mobile edge computing", *Future Generation Computer Systems*, 2020, 112, pp. 148-161.
- [28] Ebtessam Aloboud, Heba Kurdi, "Cuckoo-inspired Job Scheduling Algorithm for Cloud Computing", *Procedia Computer Science*, 2019, Vol. 151, pp. 1078-1083.
- [29] Mohamed Kurdi, "Ant colony system with a novel Non-Daemon Actions procedure for multiprocessor task scheduling in multistage hybrid flow shop", *Swarm and Evolutionary Computation*, 2019, Vol. 44, pp. 987-1002.
- [30] NaYi, Jianjun Xu, Limei Yan, Lin Huang, "Task optimization and scheduling of distributed cyber-physical system based on improved ant colony algorithm", *Future Generation Computer Systems*, 2020, Vol. 109, pp. 134-148.
- [31] Nirmala Sharma, Harish Sharma, Ajay Sharma, "Beer froth artificial bee colony algorithm for job-shop scheduling problem", *Applied Soft Computing*, 2018, pp. 507-524.
- [32] Ying LiLi, Fan Li, Quan-Ke Pan, Liang Gao, "An Artificial Bee Colony Algorithm for the Distributed Hybrid Flowshop Scheduling Problem", *Procedia Manufacturing*, 2019, Vol. 39, pp. 1158-1166.
- [33] Yibing Li, Weixing Huang, Rui Wu, Kai Guo, "An improved artificial bee colony algorithm for solving multi-objective low-carbon flexible job shop scheduling problem", *Applied Soft Computing*, 2020, Vol. 95, pp. 506-544.
- [34] Kirkpatrick, S. , Gelatt, C. D. , Vecchi, M. P. , *Optimization by simulated annealing*, ScienceDirect, 1987, pp. 671-680.
- [35] Ferland, J. A., Hertz, A., & Lavoie, A. (1996). "An Object-Oriented Methodology for Solving Assignment-Type Problems with Neighborhood Search Techniques", *Operations Research*, 1996, Vol. 44, pp. 347-359.
- [36] Liu, J. "The impact of neighbourhood size on the process of simulated annealing: Computational experiments on the flowshop scheduling problem", 1999, Vol. 37, pp. 285-288.

